

各種異形杭の砂中での周面抵抗特性

株ジオトップ 正会員 藤内貞男
同 上 正会員 平山英喜
同 上 正会員 山下啓明
同 上 正会員 ○上紺屋好行

1. まえがき

同じ条件の砂中での一連のモデル実験で、各種異形杭（コルゲート杭、テーパー杭、節杭）の周面抵抗のメカニズムについて、検討してきた¹⁾⁻⁵⁾。本報では、これらの異形杭の周面抵抗応力 f をまとめて比較し、各々の異形杭の特性を考察する。

2. 実験の概要

実験に用いた三軸加圧型実験土槽（内径158cm、高さ178cm）、砂（珪砂6号: $D_{50}=0.318\text{mm}$ ）、地盤作成法（サンドレイナー法、杭はほぼ理想的な埋込み杭として設置）、加圧条件（ $\sigma_v=1.0\text{kgf/cm}^2$ 、 $\sigma_h=0.5\text{kgf/cm}^2$ ）、載荷・計測方法の詳細については、文献¹⁾を参照されたい。

本報で対象とする杭を、図-1にまとめて示す。周面抵抗応力 f は、図に示した位置でのひずみゲージの値から算定している。節杭の杭径は、節部径の100mmを用いている。粗い直杭・テーパー杭は、付着砂により径が2.6mm大きくなっているので、それを考慮している。

モデル地盤は $D_r \approx 80\%$ で、標準貫入試験を実施した結果、N値は10であった。

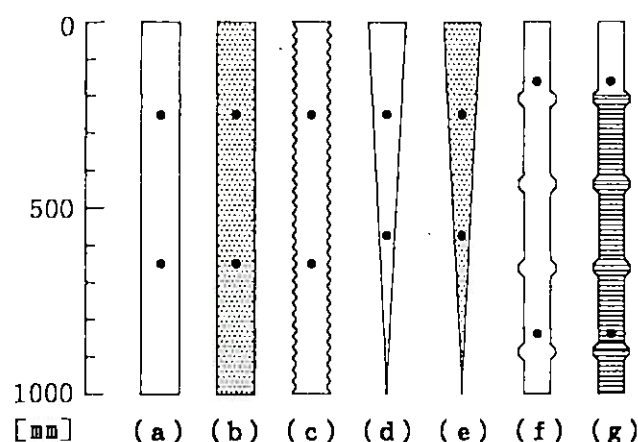


図-1 モデル杭

3. 各種異形杭の周面抵抗の比較

図-2は、図-1に示した各杭の周面抵抗応力-沈下量($f-S$)関係を、(a) $S=100\text{mm}$ まで、(b) $S=10\text{mm}$ ($S/D=0.1, D=100\text{mm}$)まで、示したものである。図を簡潔にするため、除荷・再載荷時のデータは省略してあるが、いずれの結果においても、再載荷時には先行荷重（プレロード）の約3/4までは弾性的で、1~2mmのきわめて小さな沈下量しか要しない。

図-2の右側縦軸には、 f を地盤のN値により $f [tf/m^2] = \alpha N$ で評価した時の係数 α (= $f [tf/m^2]/N$) を示してある。ただし、モデル地盤のN値は10であるので、係数 α は $f [\text{kgf}/\text{cm}^2]$ の数値と同じになる。

4. 考察

図-2より、直杭、テーパー杭、節杭のいずれも、杭周面を粗くしたものの方が、周面抵抗応力 f がかなり大きくなっていることが分かる。

図-1の各杭において、 $S/D=0.1$ の時の f は (a) < (b) ≈ (c) ≈ (d) ≈ (f) < (e) < (g) となっている。このことより、埋込み杭の f には、摩擦係数（粗い直杭・コルゲート杭） < 摩

- (a) 滑らかな直杭: 外径100mm
- (b) 粗い直杭: (a)に実験砂を付着
- (c) コルゲート杭: 凸部外径100mm,
凹部外径95mm
- (d) 滑らかなテーパー杭: 杭頭径100mm
- (e) 粗いテーパー杭: (d)に実験砂を付着
- (f) 滑らかな節杭: 節部径100mm,
軸部径68.2mm
- (g) 粗い節杭: 杭周面に凹凸を有する⁵⁾

擦係数と水平土圧の組合せ（粗いテーパー杭）
く摩擦係数と支圧抵抗の組合せ（粗い節杭）、
の順に効果を発揮していることが分かる。

f の質に関しては、 $S/D = 0.1$ の時の f は、直杭・コルゲート杭ではピーク後の残留状態であるのに対して、テーパー杭・節杭では増加過程にある。特に、テーパー杭の場合は、沈下とともに f は漸増し続け、ピークは生じない。したがって、テーパー杭・節杭の f には、ねばり強さがあり、安全率に余裕があると言える。

以上より、図-1 の異形杭において、non-displacement型の杭として効果的な杭は、節部下面の支圧抵抗と、節部直下の軸部の高圧下での摩擦係数の増加効果を有する粗い節杭⁴⁾⁵⁾であると評価できる。一方、再載荷時の挙動から、displacement型の杭として効果的な杭は、 f に

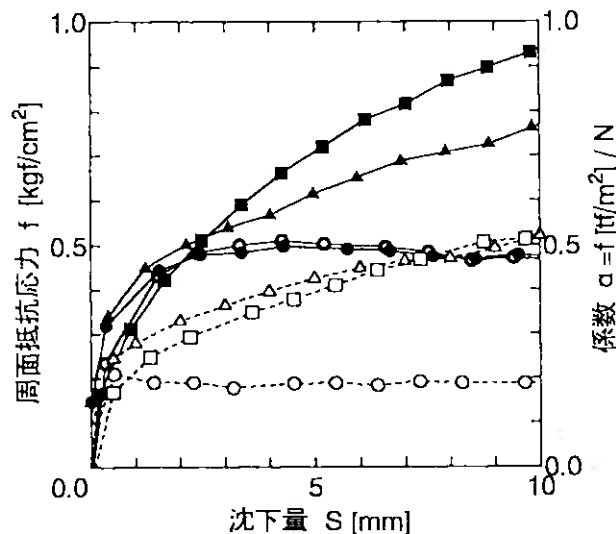
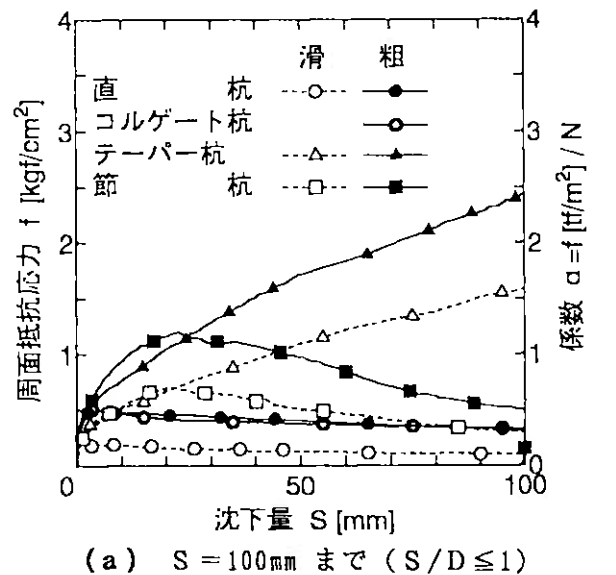


図-2 周面抵抗応力-沈下量 ($f - S$) 関係

ピークが生じず、プレロード時の沈下によって側方土圧を増加させ²⁾、かつ大きい摩擦係数を有する粗いテーパー杭であると評価できる。

現行設計基準類における場所打ち杭・埋込み杭の f の算定式は $f [\text{tf}/\text{m}^2] = N/5 \sim N/2$ である。この下限・上限は、図-2(b)の滑らかな直杭・粗い直杭およびコルゲート杭の f のピーク値にはほぼ対応している。これに対して、粗い節杭の $S/D = 0.1$ の時の f は、 N 値で表すと約 $1.0\text{N} [\text{tf}/\text{m}^2]$ で、上記算定式に比べると2~5倍大きくなっている。したがって、粗い節杭の周辺に礫等を充填する埋込み杭工法により、量・質ともに優れた周面抵抗が期待できる⁶⁾。

5.まとめ

本報で得られた結論を、以下にまとめる。

- ① 直杭、テーパー杭、節杭のいずれも、杭周面の粗いものの方が、周面抵抗がかなり大きい。
- ② テーパー杭・節杭の周面抵抗には、ねばり強さがあり、質の点でも優れている。
- ③ 図-1の杭の中で、non-displacement型の杭として最も効果的な杭は、粗い節杭である。
- ④ displacement型の杭として、 f をより効果的に発揮しうる杭は、粗いテーパー杭である。

参考文献

- 1) 藪内・平山・山下・上紺屋：砂中の節杭・コルゲート杭のモデル実験、第26回土質工学研究発表会講演集、pp. 1351-1354, 1991.
- 2) 平山・藪内・山下・染川：テーパー杭の周面摩擦抵抗の円筒空洞拡大理論による解析、第27回土質工学研究発表会講演集、pp. 1581-1584, 1992.
- 3) 藪内・平山・山下・染川：コルゲート杭の周面摩擦抵抗特性に関するモデル実験、土木学会第47回年講III、pp. 908-909, 1992.
- 4) 藪内・平山・山下・上紺屋：杭先端抵抗と比較した節杭の節部抵抗、第28回土質工学研究発表会講演集、pp. 1775-1778, 1993.
- 5) 藪内・平山・山下・上紺屋：砂中の節杭の周面粗滑の影響に関するモデル実験、土木学会第49回年講III、pp. 964-965, 1994.
- 6) 藪内・平山・山下・上紺屋：周辺に礫を充填した節杭の鉛直支持特性に関するモデル実験（その1・その2）、第29回土質工学研究発表会講演集、pp. 1475-1480, 1994.